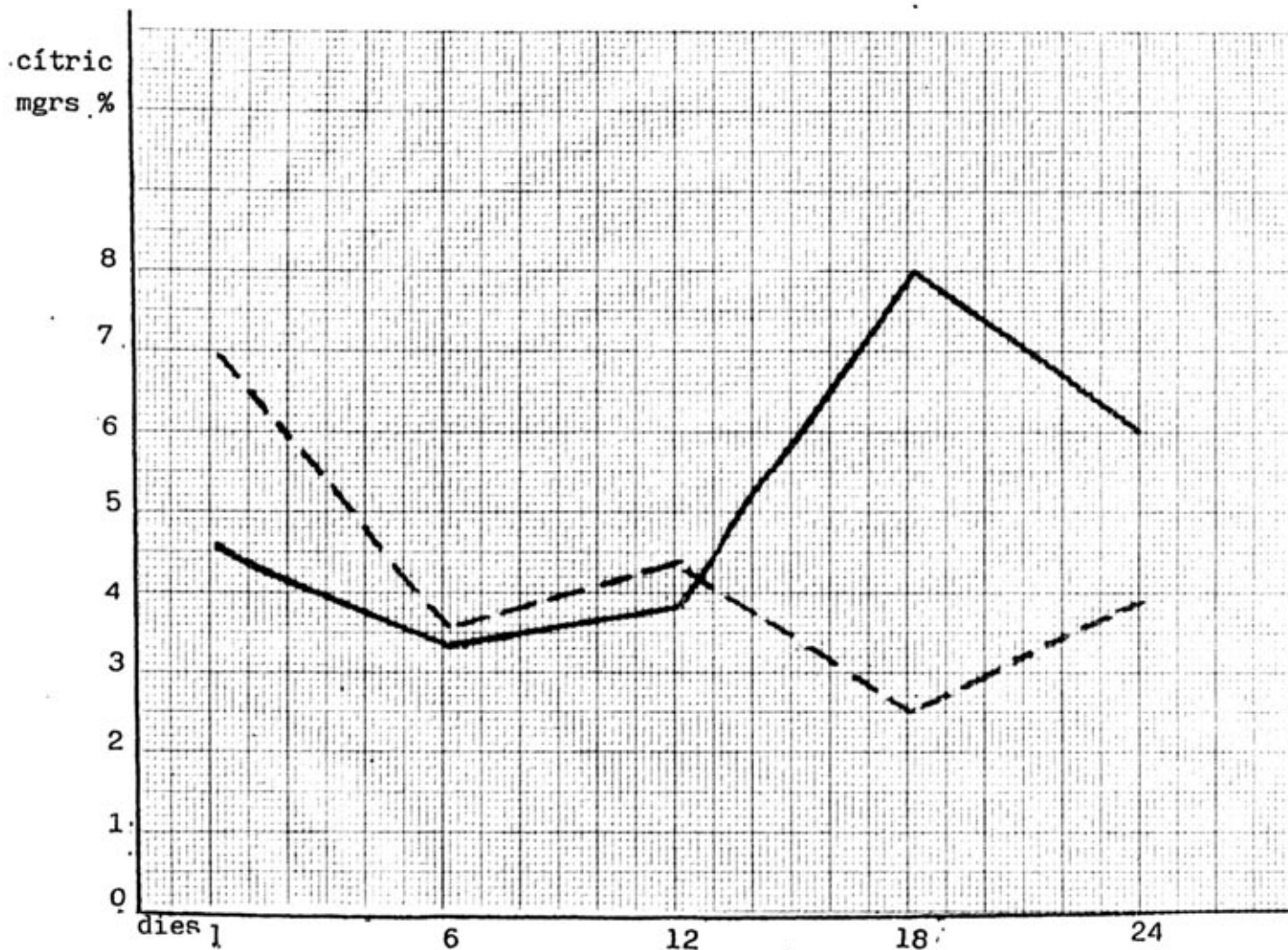


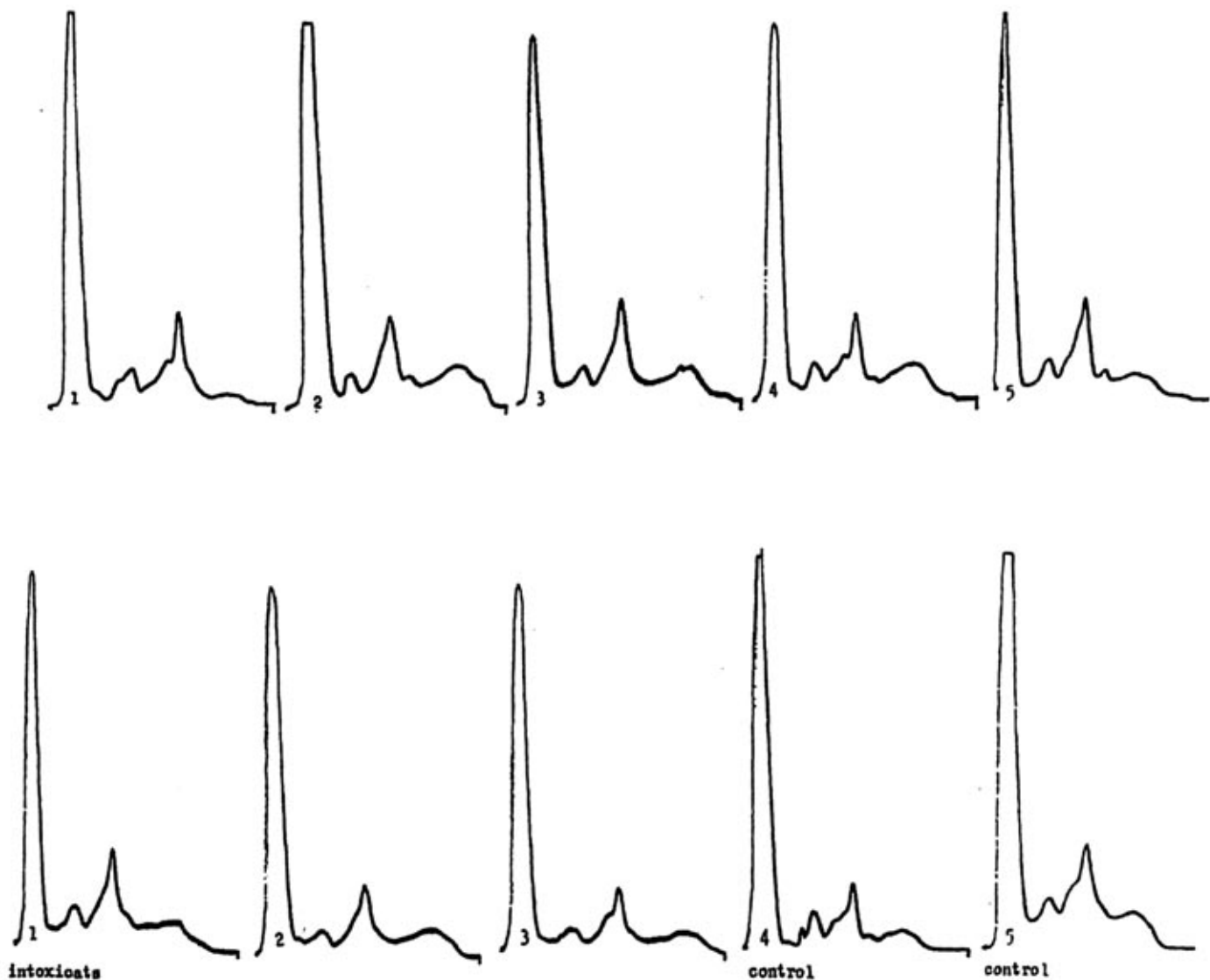
ASSAIG I

Grup de 5 conills numerats 1-2-3 intoxicats
i 4-5 control.



Gràfica 1) La línia contínua representa la quantitat mitjana d'àcid cítric trobada al sèrum dels conills 1-2-3 intoxicats. L'acme es dona al 18^e dia d'intoxicació. La línia discontinua representa a les fosfatases alcalines que minven a proporció de l'augment d'àcid cítric.

La mitjana d'àcid cítric al sèrum dels conills considerats com a control està dins dels marges tolerats.



Gràfica 2) Indica que en els perfils quantitius de les proteïnes dels animals intoxicats no hi ha cap modificació significativa.

CALCEMIA

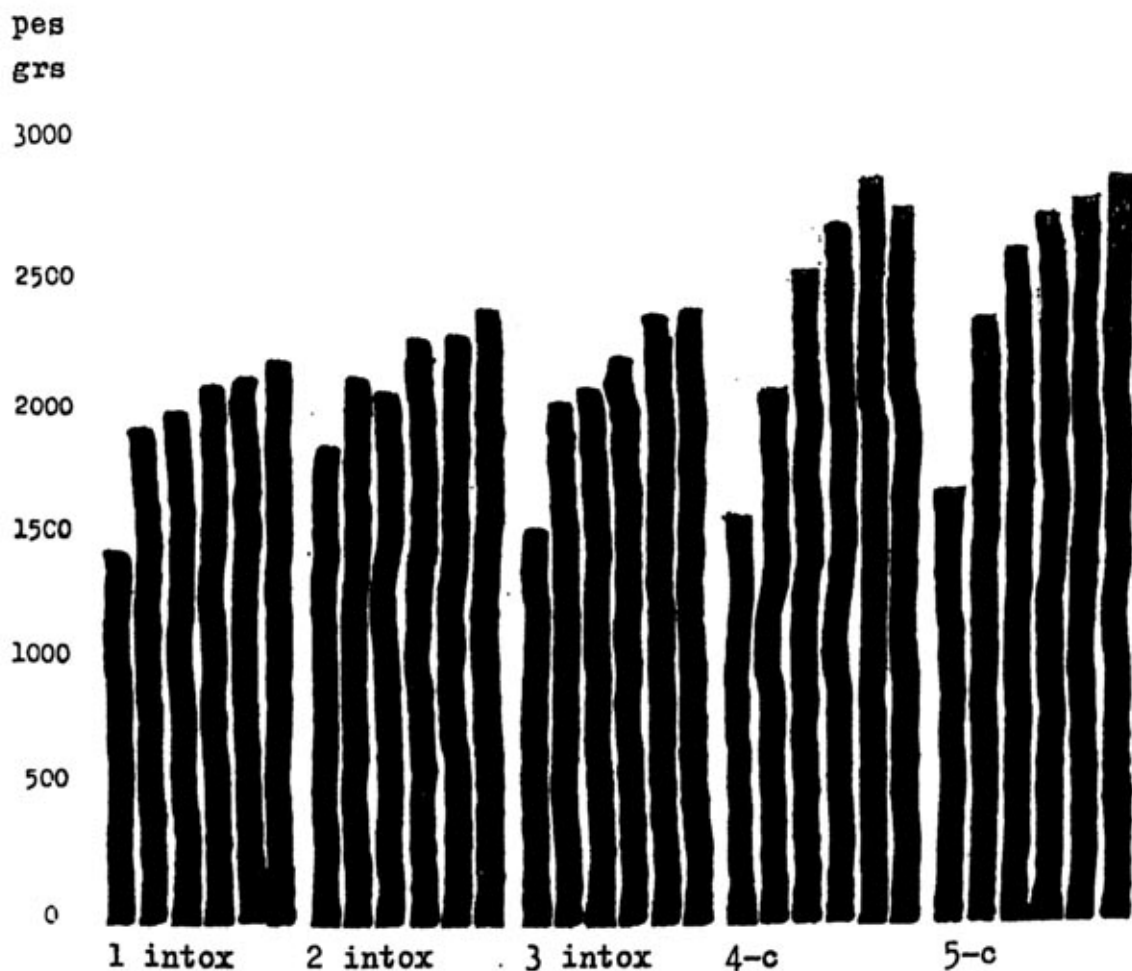
1	10.9	mg	d1
2	10.3	mg	d1
3	11.7	mg	d1
4	12.5	mg	d1
5	11.4	mg	d1

1	12.6	mg	d1
2	12.0	mg	d1
3			
4	14.2	mg	d1
5	14.4	mg	d1

1	13.3	mg	d1
2	8.4	mg	d1
3	11.4	mg	d1
4	12.9	mg	d1
5	12.5	mg	d1

1	12.1	mg	d1
2	13.6	mg	d1
3			
4	12.4	mg	d1
5	11.6	mg	d1

Taula a) Calcemia dintre dels marges tolerats.



Gràfica 3) Representa el pes dels conills en diferents dies.
Es troba un significatiu augment del pes en els conills no intoxicats.

Conill 1

Descripció microscòpica.

Fetge estructura hepàtica alterada per la presència de nombrosos quistes. No s'hi veu fibrosi ni cap altra alteració en la resta de la víscera.

Cor normal

Ronyó algunes dilatacions quístiques a l'àrea cortical.

Melsa grossos fol·licles de Malphigio; acumulació de cèl·lules eosinòfiles a la polpa roja.

Conill 2)

Descrpció microscòpica.

Pulmó hipertròfia muscular d'algunes arterioles.

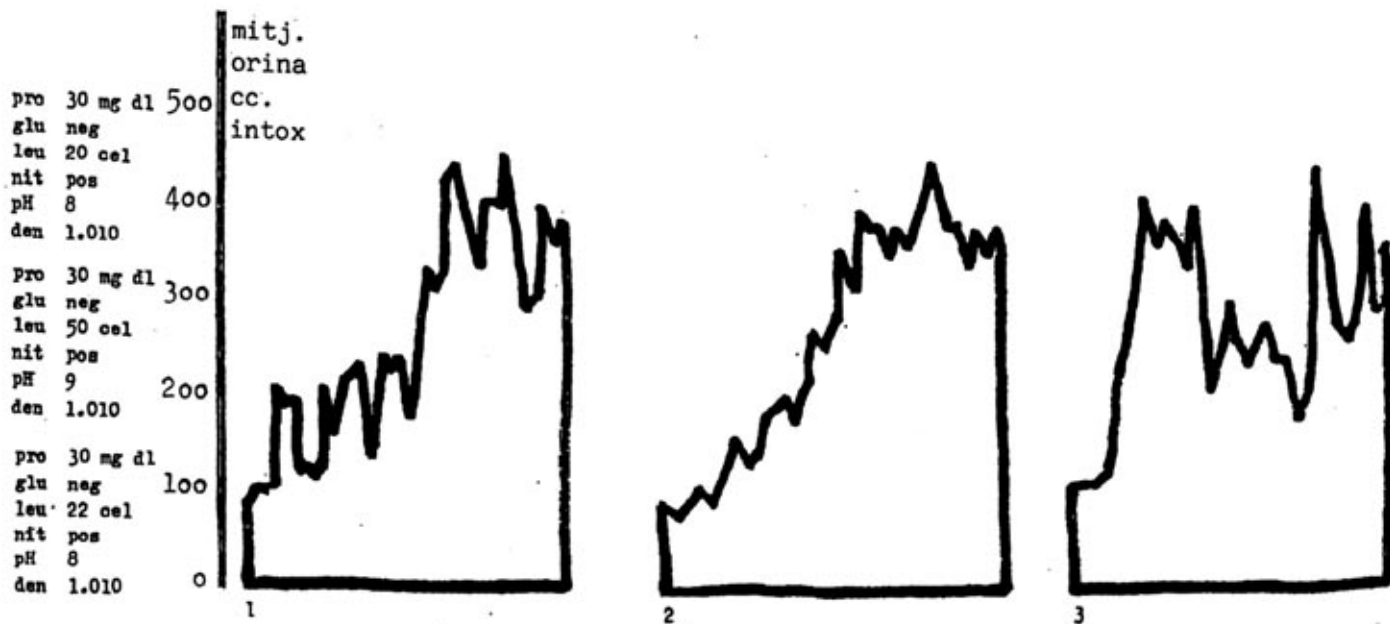
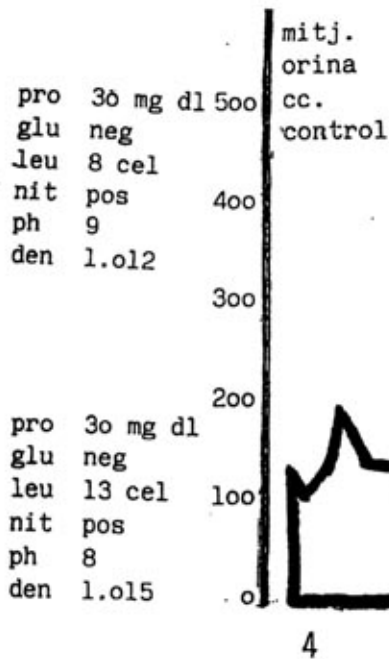
Timus sense lesions valorables.

Cor sense lesions valorables.

Ronyó sense lesions valorables.

Melsa sense lesions valorables

Taula b) Morts els animals, se'ls ha fet l'autòpsia que ha donat els resultats descrits.



Gràfica 4) La recollida d'orina permet observar quantitats superiors als animals intoxicats. Analítica normal.

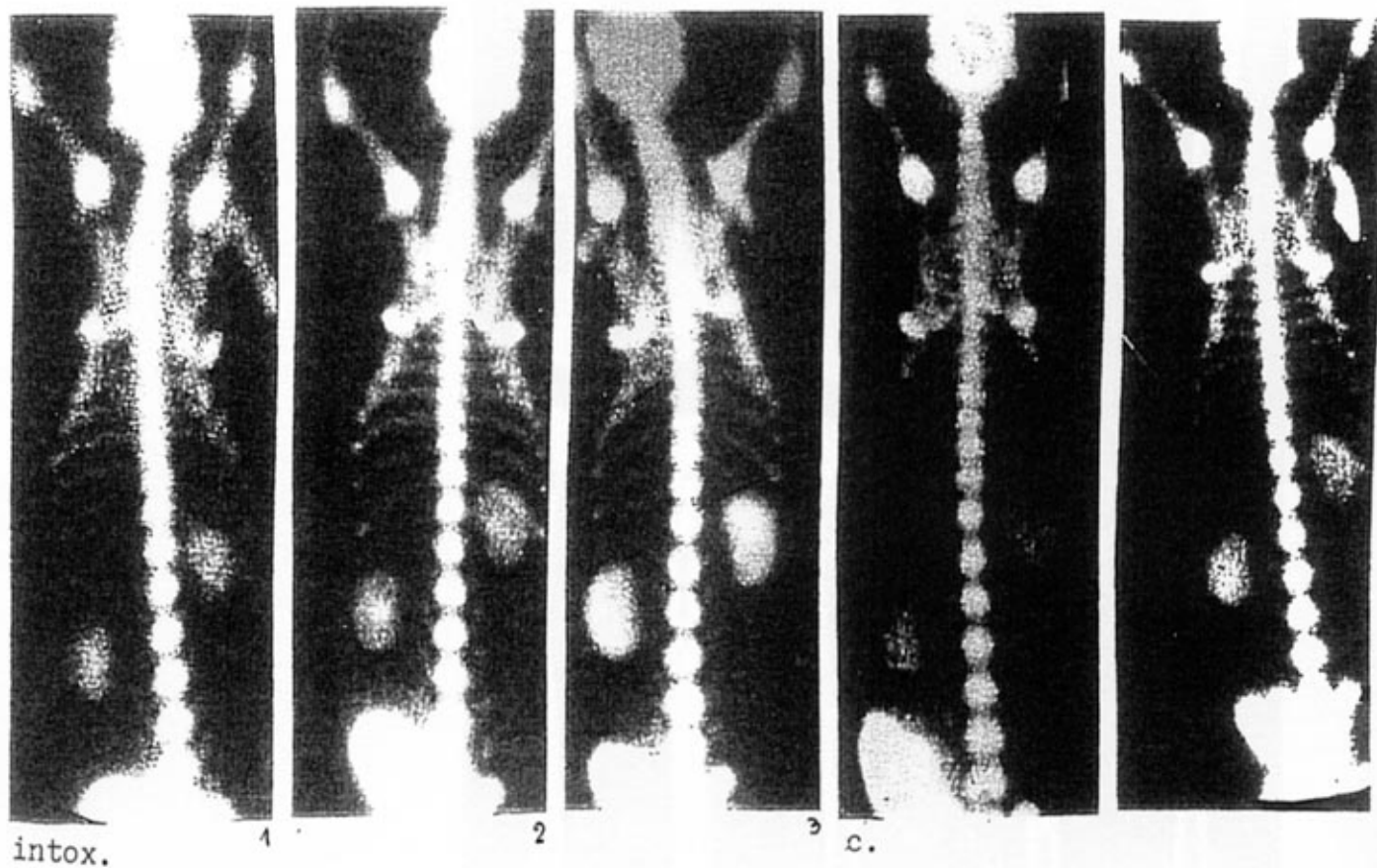
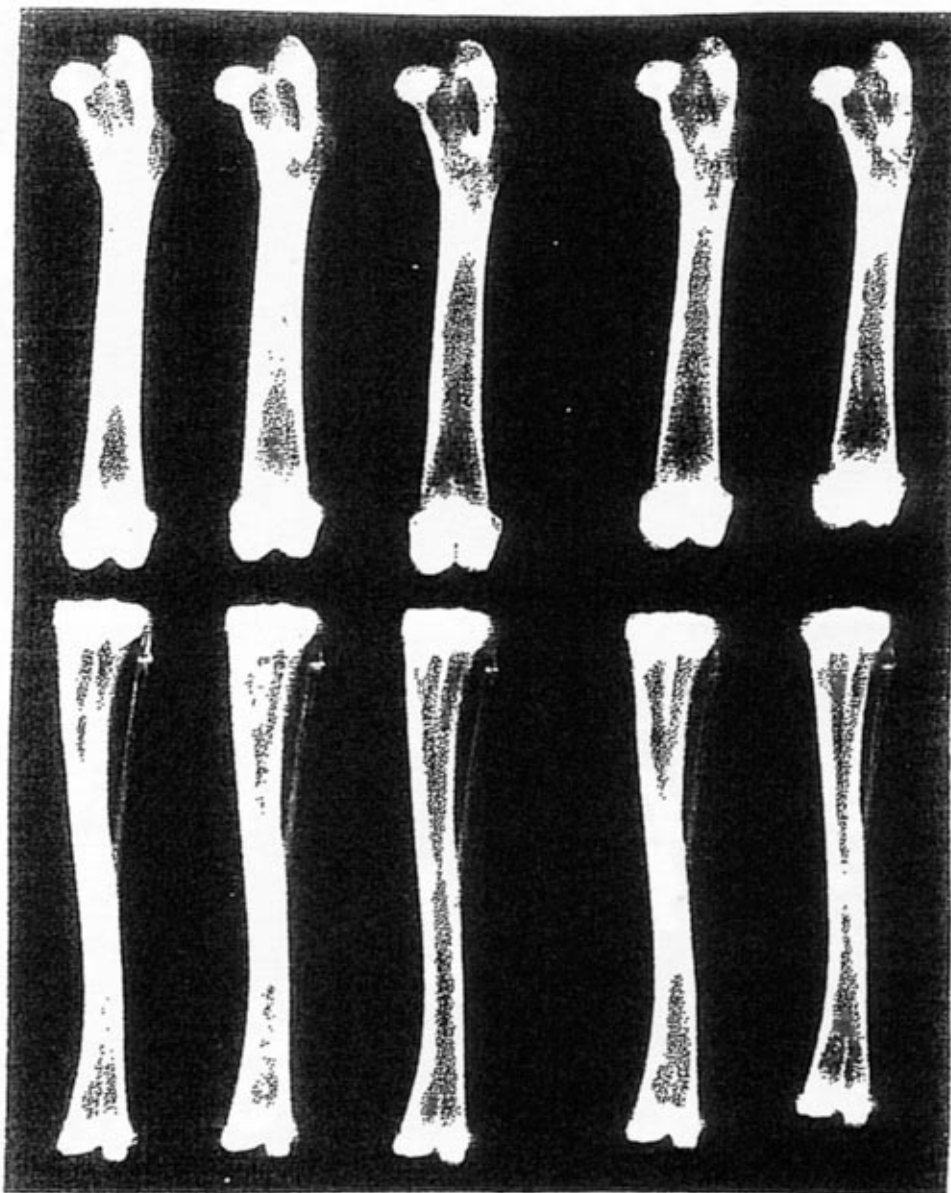


Figura I L'administració de 0.8 millicuris de ^{99}Tc per kg als conills 1-2-3 demostra una major captació òssia respecte als animals de control.



intox

control

Figura II Demuestra un major creixement, en llargada, dels ossos fèmur i tibia dels conills intoxicats respecte als del control.

3
T1
in
intox T-1



Figura I
Imatge obtinguda
pel procediment
de tall i raspat
d'una mostra de
tíbia intoxicada
sense descalci-
ficar.

5
T1
c.
c. T-1



Figura II
Imatge obtinguda
pel procediment
de tall i raspat
d'una mostra de
tíbia control
sense descalci-
ficar.

2
TO
in

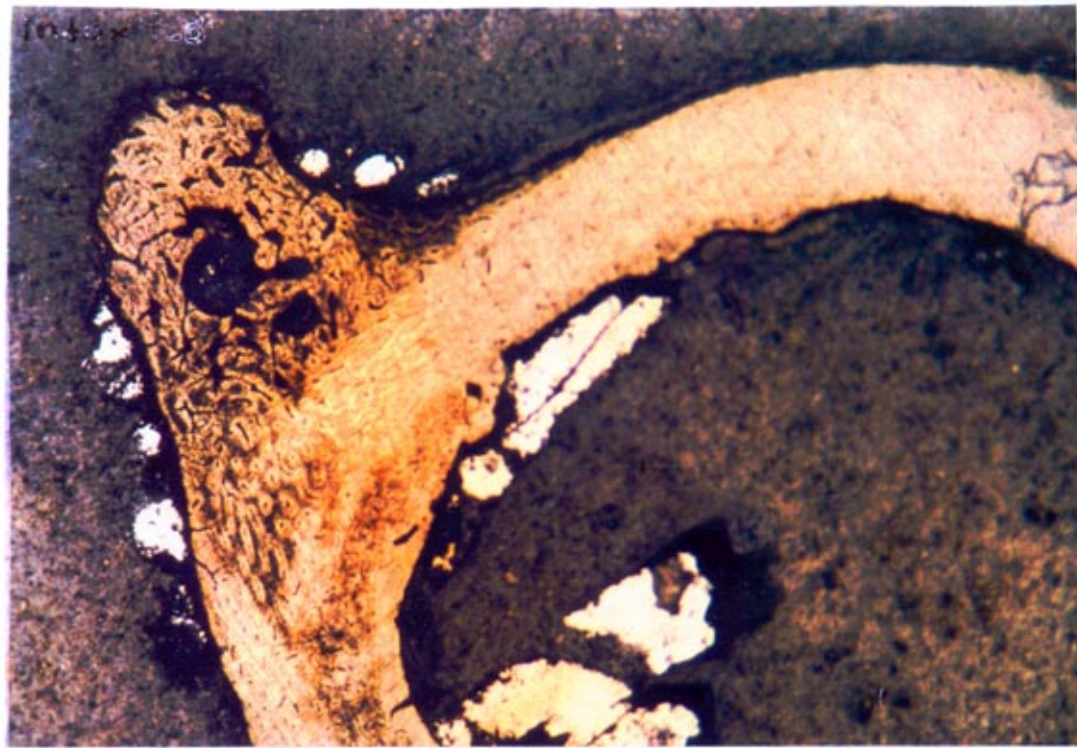


Figura III
Imatge obtinguda
pel procediment
de tall i raspat
d'una mostra de
tíbia intoxicada
sense descalcifi-
car.

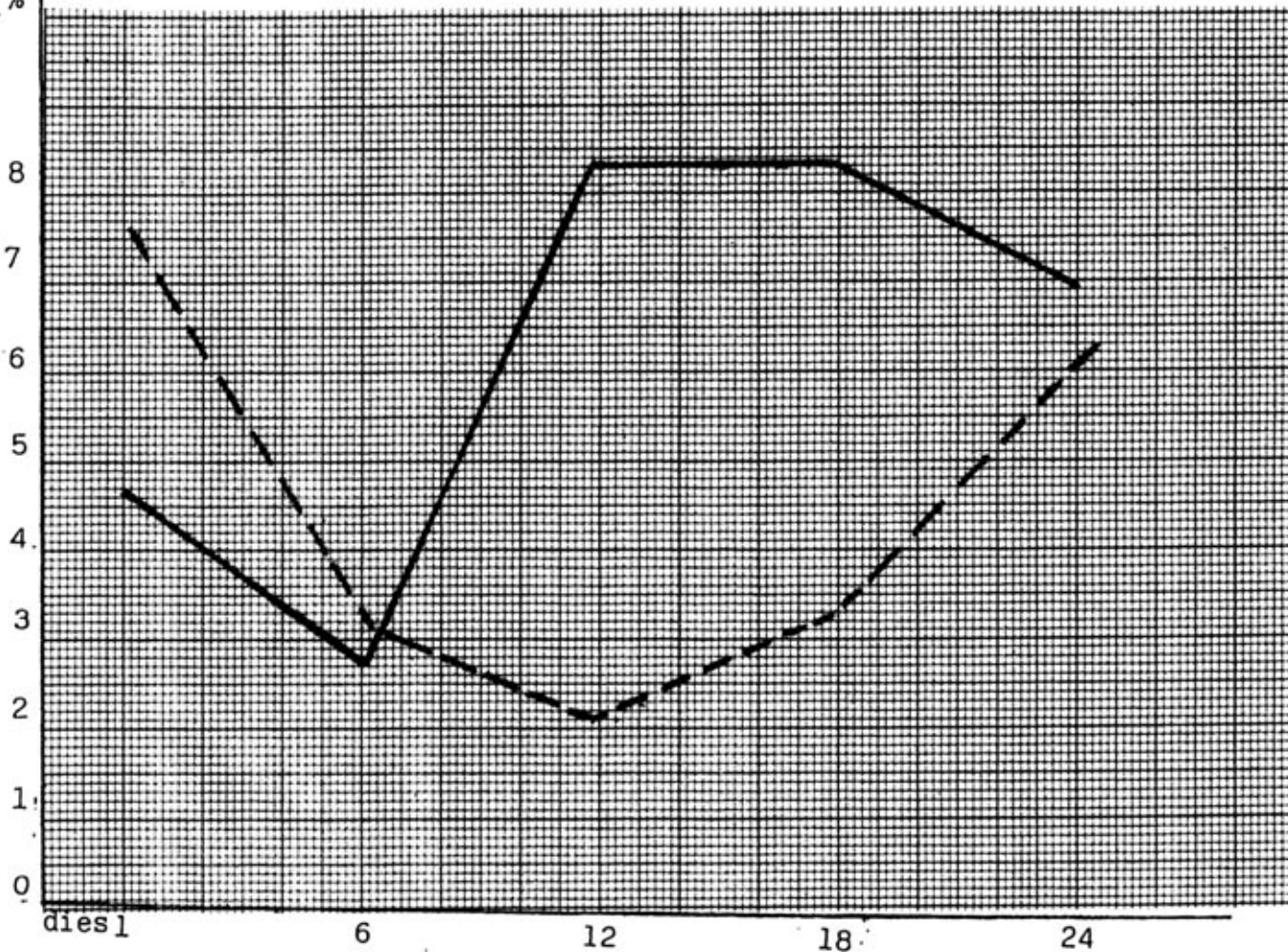
4
TO
c.



Figura IV
Imatge obtinguda
pel procediment
de tall i raspat
d'una mostra de
tíbia control
sense descalcifi-
car.

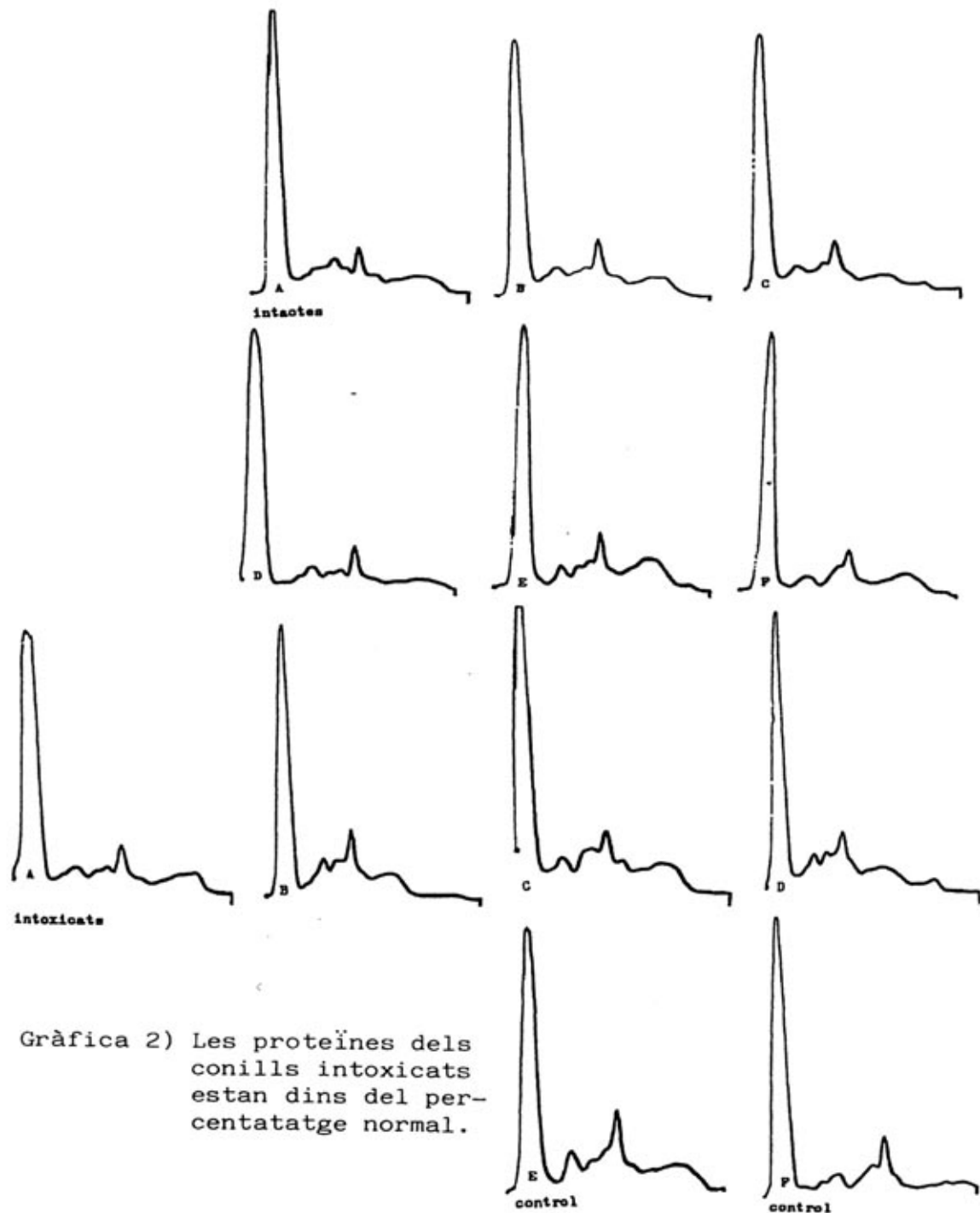
Grup de 6 conills anomenats A-B-C-D intoxicats
i E-F control.

àcid
cítric
mgrs %



Gràfica 1) Representa la quantitat mitjana d'àcid cítric trobada al sèrum dels conills A-B-C-D intoxicats. La quantia alta va del dia 12 al 18 d'intoxicació. Les fosfatases alcalines s'abaixen quan l'àcid cítric augmenta.

La mitjana d'àcid cítric al sèrum dels conills
considerats com a control està dins dels marges
tolerats.



Gràfica 2) Les proteïnes dels conills intoxicats estan dins del percentatge normal.

CALCI	14.3 mg/dl	CALCI	15.2 mg/dl
FÒSFOR	7.2 mg/dl	FÒSFOR	9.4 mg/dl
POTASSI	5.01 mEq/l	POTASSI	6.56 mEq/l
SODI	159 mEq/l	SODI	150 mEq/l

A

B

CALCI	15.7 mg/dl	CALCI	12.6 mg/dl
FÒSFOR	8.1 mg/dl	FÒSFOR	8.0 mg/dl
POTASSI	6.76 mEq/l	POTASSI	6.85 mEq/l
SODI	147 mEq/l	SODI	146 mEq/l

C

E

Taula a) Calci, fòsfor, potassi i sodi tant en els conills intoxicats com en els control estan dintre dels límits admesos.

51.1 + W	LEUCOCITOS x10 ⁹ /μl	-- . - W	LINFOCITOS %
1.52 -	HEMATIES x10 ⁹ /μl	-- . - W	MONOS + ED+BASO %
5.0 -	HGB g/dl	-- . - W	NEUTROFILOS %
18.5 -	HCT %	-- . - W	LINFOCITOS x10 ⁹ /μl
121.7 +	VCM Fl	-- . - W	MO+EDS+BA x10 ⁹ /μl
32.9 +	HCM pg	-- . - W	NEUTROFILOS x10 ⁹ /μl
27.0 -	CHCM %	84.4 +	RDW Fl
614 + P	PLAQUETAS x10 ⁹ /μl	8.4 -	PDW Fl
	RETIC.	7.4 - P	VPM Fl
	ERITRO- BLASTOS	9.4 - P	P-LCR %

A

.3.7	LEUCOCITOS x10 ⁹ /μl	60.0 +	LINFOCITOS %
6.79 +	HEMATIES x10 ⁹ /μl	-- . - T2	MONOS + ED+BASO %
14.9.	HGB g/dl	-- . - T2	NEUTROFILOS %
43.9	HCT %	2.2	LINFOCITOS x10 ⁹ /μl
64.7 -	VCM Fl	-- . - T2	MO+EDS+BA x10 ⁹ /μl
21.9 -	HCM pg	-- . - T2	NEUTROFILOS x10 ⁹ /μl
33.9	CHCM %	27.4 -	RDW Fl
288	PLAQUETAS x10 ⁹ /μl	7.5 -	PDW Fl
	RETIC.	6.8 -	VPM Fl
	ERITRO- BLASTOS	5.5 -	P-LCR %

C

7.5 W	LEUCOCITOS x10 ⁹ /μl	57.6 + W	LINFOCITOS %
5.01	HEMATIES x10 ⁹ /μl	-- . - W	MONOS + ED+BASO %
11.3 -	HGB g/dl	-- . - W	NEUTROFILOS %
35.8 -	HCT %	4.3 W	LINFOCITOS x10 ⁹ /μl
71.5 -	VCM Fl	-- . - W	MO+EDS+BA x10 ⁹ /μl
22.6 -	HCM pg	-- . - W	NEUTROFILOS x10 ⁹ /μl
31.6	CHCM %	34.2 -	RDW Fl
232 P	PLAQUETAS x10 ⁹ /μl	8.3 -	PDW Fl
	RETIC.	7.2 - P	VPM Fl
	ERITRO- BLASTOS	8.2 P	P-LCR %

B

4.0	LEUCOCITOS x10 ⁹ /μl	60.1 +	LINFOCITOS %
6.45 +	HEMATIES x10 ⁹ /μl	-- . - T	MONOS + ED+BASO %
14.2	HGB g/dl	-- . - T	NEUTROFILOS %
41.7	HCT %	2.4	LINFOCITOS x10 ⁹ /μl
64.7 -	VCM Fl	-- . - T	MO+EDS+BA x10 ⁹ /μl
22.0 -	HCM pg	-- . - T	NEUTROFILOS x10 ⁹ /μl
34.1	CHCM %	24.9 -	RDW Fl
153 P	PLAQUETAS x10 ⁹ /μl	10.0	PDW Fl
	RETIC.	7.9 - P	VPM Fl
	ERITRO- BLASTOS	13.2 P	P-LCR %

E

Taula b) Estudi hemàtic que valora la tolerància del tractament.

Conill D

Descripció microscòpica.

Pulmó Infiltrats de cel.lules rodones peribronquials. Escasses hemorràgies. Parets vasculars engruixides amb la llum molt disminuïda.

Cor Normal.

Fetge Degeneració que afecta a quasi la meitat de la víscera a partir de les zones centrolòbulars, on hi ha degeneració grassa, infiltració hidròpica i petites necrosis per dilatació del capilar venós i compressió secundària.

Ronyó Lesions poc marcades. Algun glòmerul amb hiperplàsia endotelial i algun de retret.

Taula c) Descripció microscòpica comparativa de les vísceres més compromeses en la intoxicació.

Conill E

Descripció microscòpica.

Pulmó Sense lesions.

Cor Sense lesions.

Fetge Sense lesions.

Melsa Fol.licles reactius.

A la polpa, abundants elements joves limfoides, plasmàtiques, eosinòfils i cel.lules reticulars amb pigment.

Conill F

Descripció microscòpica.

Pulmó Llums vasculars estrets per hipertròfia de la capa mitjana arterial.

Cor Sense lesions.

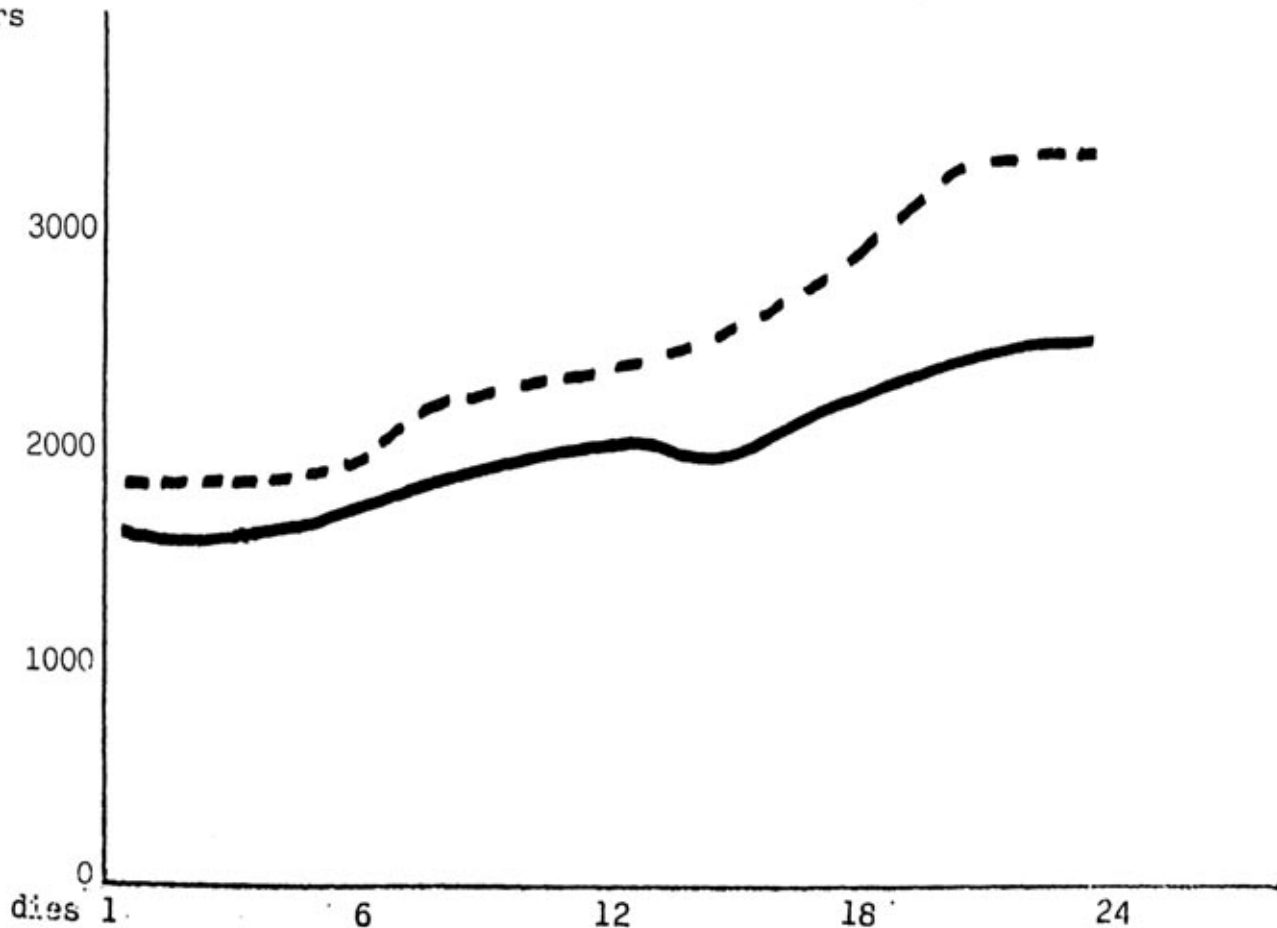
Fetge Sense lesions.

Mediastí Normal en totes les seves estructures.

Ronyó Glòmeruls ben conservats. Congestió i dilatació venosa. Túbuls conservats. Intercicis normals. Artèries amb signes d'esclerosi a la capa mitjana.

Melsa Fol.licles limfoides ben visibles. La polpa roja augmentada per la intensa congestió dels seus sis.

mitj.
pes
grs



Gràfica 3) La línia contínua representa les variacions de pes dels animals intoxicats, la línia discontinua la dels control.

orina

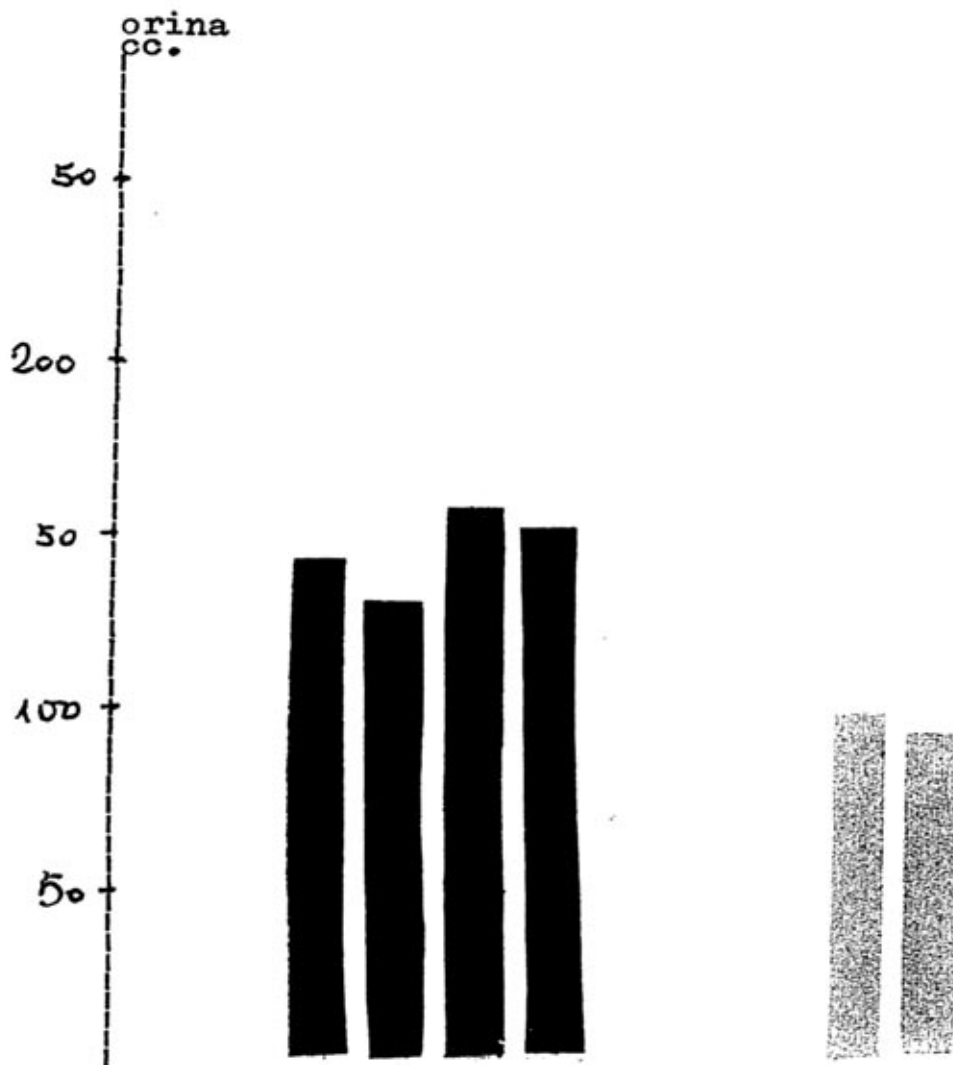
intox

glu	neg	glu	neg	glu	neg	glu	neg
cet	ind	cet	15 mg/dl	cet	ind	cet	15 mg/dl
den	1.010	den	1.020	den	1.015	den	1.015
san	neg	san	neg	san	neg	san	neg
pH	9	pH	9	pH	9	pH	9
pro	30 mg/dl	pro	50 mg/dl	pro	30 mg/dl	pro	30 mg/dl
leu	10 cel	leu	15 cel	leu	15 cel	leu	15 cel

control

glu	neg	glu	neg
cet	ind	cet	ind
den	1.010	den	1.015
san	neg	san	neg
pH	9	pH	9
pro	30 mg/dl	pro	30 mg/dl
leu	6 cel	leu	70 cel

Taula d) L'anàlisi dels conills intoxicats, sense alteració.



Gràfica 4) Visible augment de la quantitat d'orina dels conills intoxicats (en negre), comparada amb la dels control (en gris).